

### III-31 砂の非排水繰返しぜん断中の供試体の変形状態の検討

株式会社 正員 原 勝重  
東京大学生産技術研究所 正員 龍田 文夫

#### 1.はじめに

地震時ににおける水平地盤中の土の要素の強度・変形特性を求める場合には、原位置の応力状態のもとでの繰返し单轴せん断試験を行うほうが繰返し三軸試験より直観的である。この一方法として中空円筒状の供試体を用いる繰返しぜん断試験がある。中空円筒状供試体の円周方向にせん断応力を加えて場合の理想的な变形は供試体の高さ方向のせん断ひずみの分布が一様性ことである。そこで、供試体の变形の写真撮影を行い、繰返し載荷中ににおけるせん断ひずみの分布状態を求めて報告する。

#### 2.実験方法

豊浦砂を空中落下させて中空円筒状供試体を作成し、 $1 \text{ kg/cm}^2$  で等方圧密して後、最大せん断応力振幅一定( $\sigma_d = 1.0 \text{ kg/cm}^2$ )、せん断ひずみ速度一定( $\dot{\gamma}_{at}$ ) $= 0.5 \text{ rad/min}$  の非排水繰返しぜん断試験を行なった。ポーラストーンは刃のついていないものを用いた。メンブレン厚は $0.2 \text{ mm}$  である。(文軒イタ参照)

供試体の变形は、供試体外側のメンブレンに直径約 $1 \text{ mm}$ の黒丸をつけて、黒丸の移動を写真撮影して。このビキメンブレンと供試体の動きは同一と仮定して。ひずみ増分の分析は、横約 $12 \text{ mm}$ 、縦約 $10 \text{ mm}$  間隔の黒丸の座標を読み取り、図-2に示すような三角形分割要素を作成し、三角形要素の変形から求めた。なお、せん断ひずみは、三軸セル外部の回転角で測定したものを( $\dot{\gamma}_{at}$ ) $out$ 、三角形要素の変形から求めたものを( $\dot{\gamma}_{at}$ ) $c$ とした。

#### 3.結果および考察

図-1は、繰返し回数 $N_c=1, 5$ および $14$ における回転角計で測定したせん断ひずみ( $\dot{\gamma}_{at}$ ) $out$ とせん断応力の関係を示したものである。図-2は、図-1に示した各繰返し回数のせん断応力の最大から最大(点R<sub>c</sub>~点L)までの三角形分割要素の変形状態、 $N_c=5$ の主ひずみ増分とその方向、およびZero-Elongation方向とせん断ひずみ増分を示したものである。

まず、図-2(b)に示す三角形分割要素の変形は、各繰返し回数とも一様な変形をしているよう見える。また、上下の小

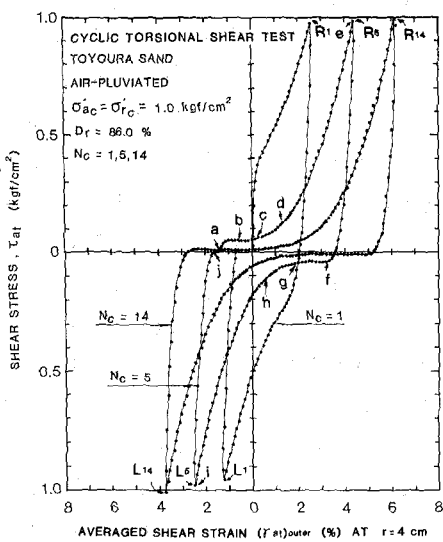


図-1.せん断応力とせん断ひずみ関係( $N_c=1, 5, 14$ )

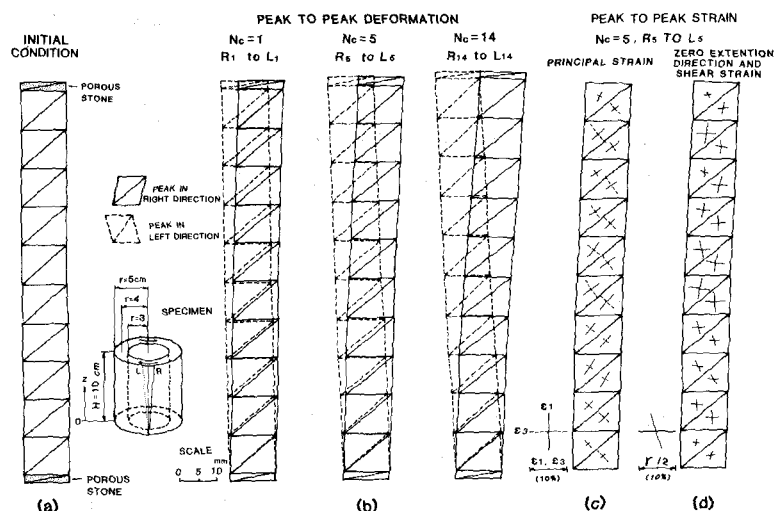


図-2.供試体の変形状態とひずみ分析(Peak to Peak)

三角形要素はポーラストーンと供試体の境界部分であり、三角形要素が斜面でないところからポーラストーンと供試体上下端面ではすべて同じ傾きがある。図-2(c)のせん断ひずみ増分の方向は45°付近である。図-2(d)のZero-Extension方向はほぼ水平であり、供試体の伸び方が斜めの方向がほぼ水平であることがわかる。せん断ひずみ増分( $\delta/\delta t$ )<sub>IN</sub>の供試体高さ方向の分布は、図-3に示すように供試体上部および下部で小さく、供試体中部で大きくなる傾向が見られる。このことは、供試体上下端がポーラストーンで変形拘束されていることを示すものであるが、これらを除くとほぼ一様な分布である。

図-4は、各繰返し回数における回転角で測定した供試体外径( $r=5\text{cm}$ )のせん断ひずみ増分( $\delta/\delta t$ )<sub>out</sub>と三角形要素の変形が求めたせん断ひずみ増分( $\delta/\delta t$ )<sub>IN</sub>の全高に対する平均の( $\delta/\delta t$ )<sub>IN</sub>との関係を示したものである。これによると( $\delta/\delta t$ )<sub>IN</sub>は( $\delta/\delta t$ )<sub>out</sub>よりも小さくなっている。これは、供試体が曲率をもっており、実際の変形は三次元であるのに對し、写真上の変形は二次元であることにによるものと思われる。しかし、供試体中央部( $z=4\sim 6\text{cm}$ )での( $\delta/\delta t$ )<sub>IN</sub>の平均値は $N_c=5$ で大きくなっているものの $N_c=1$ および $14$ では( $\delta/\delta t$ )<sub>IN</sub>と( $\delta/\delta t$ )<sub>out</sub>がほぼ同じである。このことから、せん断ひずみの測定に用いる写真撮影の精度が高く、( $\delta/\delta t$ )<sub>IN</sub>を用いて応力へひずみ関係の議論が可能であると思われる。

以上のことを踏まえ、繰返し載荷中の $N_c=5$ の1サイクル中ににおける供試体の変形を従来用いてきた供試体中央高さの応力比( $\sigma_3/\sigma_1$ )と回転角によると全高平均のせん断ひずみ( $\delta/\delta t$ )<sub>out</sub>の関係によって見たものが図-5である。

図-5には、図-1に示した点a～点fまでの各点間(点a～点b、点b～点c,...)のせん断ひずみ増分( $\delta/\delta t$ )<sub>IN</sub>を点aを出発点として( $\delta/\delta t$ )<sub>IN</sub>を供試体上部、中部、下部のそれぞれの平均値とこれに対応する各部分の応力比も示してある。これらを比較して場合、供試体中部の( $\delta/\delta t$ )<sub>IN</sub>が少し大きいもののほぼ一致している。このことは、1サイクル中の供試体の変形もほぼ一様変形とみなせるといふことには従来用いてきたせん断ひずみ( $\delta/\delta t$ )<sub>out</sub>を用いて各種応力へひずみ関係の検討を行なってよいことを示すものと思われる。

#### 4.まとめ

写真撮影によって求めた繰返し載荷中のせん断ひずみは、供試体高さ方向に一様に分布しており、面積幅せん断ひずみが $\delta/\delta t = 10\%$ くらいまでは供試体が一様変形していることがわかった。

おわりに、座標読み取りに際し協協力を賜かりました東京大学土木工学研究室の方々に感謝の意を表す。  
(参考文献) 1) 原、龍田、佐藤、砂の非排水繰返しあじいせん断における強度試験、第19回土壤工学研究会論文集、1984

2) 鎌田他;補強材を配置した供試体の平面ひずみ試験;第18回土質工学研究会論文集 pp.1201~1204, 1983

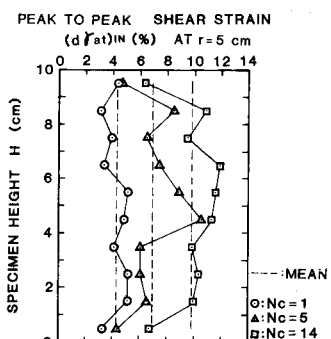


図-3 供試体高さ方向のせん断ひずみ増分の分布( $N_c=1, 5, 14$ )

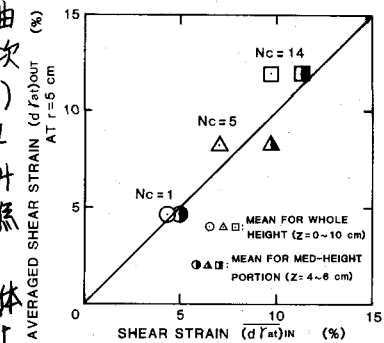


図-4 ( $\delta/\delta t$ )<sub>IN</sub>と( $\delta/\delta t$ )<sub>OUT</sub>の関係

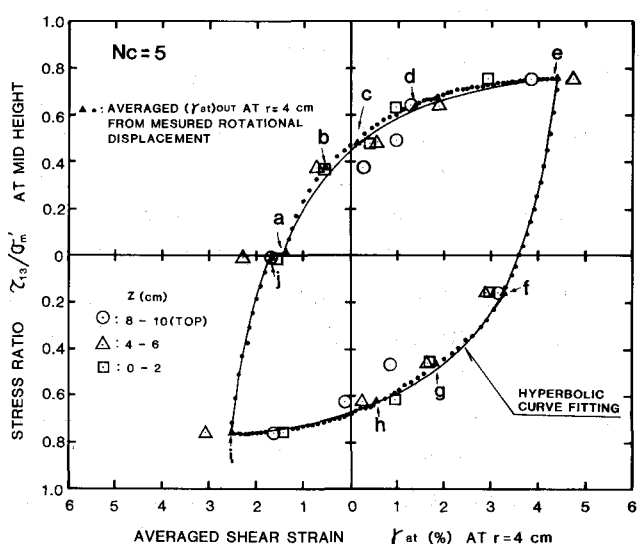


図-5.  $N_c=5$  の応力比( $\sigma_3/\sigma_1$ )～せん断ひずみ関係( $r=4\text{cm}$ )